

RÉSULTATS COASTSNAP

ÎLE D'HOEDIC

JUIN 2026



OCLM

Observatoire Citoyen
du Littoral Morbihannais





STATISTIQUES

- Nombre et fréquence des photos reçues
- Canaux utilisés et répartition temporelle des photos

ANALYSE QUALITATIVE

- Première et dernière photographies reçues
- Photographies saisonnières
- Analyse comparée d'une période d'érosion et d'accrétion

ANALYSE QUANTITATIVE

- Figure de synthèse
- Tendances de largeur de plage pour les pleines mers de mortes-eaux
- Tendances de largeur de plage pour le niveau moyen de la mer

INFORMATIONS ADDITIONNELLES

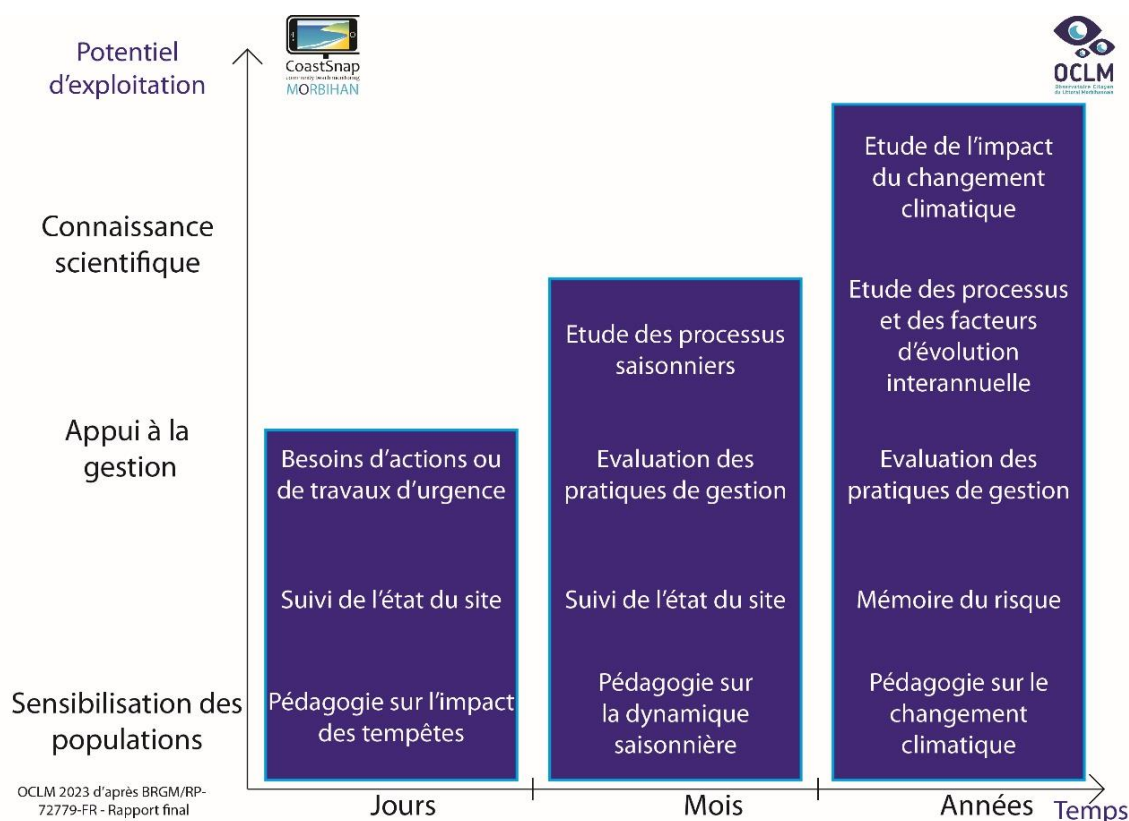
LE PROJET COASTSNAP MORBIHAN

Le système CoastSnap a été implanté en France en 2019 par le Laboratoire Geo-Ocean à Gâvres. Depuis, le nombre de stations n'a cessé de croître dans le Morbihan et dans le reste de la France. De nouveaux acteurs ont développé le système dans leurs régions. Suite à cela, le réseau CoastSnap France a été créé en juin 2022 par le Laboratoire Geo-Ocean afin de regrouper les différentes structures développant le système sur les côtes françaises.

Sur le territoire de Lorient agglomération, six stations ont été installées entre 2019 et 2024. Ces différentes stations ont pour but premier de sensibiliser le public face aux modifications que subi le littoral et les problématiques qui l'entourent : montée du niveau marin, érosion, submersion marine et changement climatique. Elles permettront, dans un second temps et en fonction de la participation du public, d'étudier l'évolution des plages suivies.

Un bilan météo marin synthétique de l'année 2024-2025 est également fourni en annexe de ce document (ou sur la page résultats de la station sur le site de l'OCLM). Les analyses du présent document se réfèrent ainsi à ce bilan météo marin.

Le dispositif Coastsnap, surtout sur les côtes à marnages importants comme celles du Morbihan, bénéficie du temps long pour une analyse plus précise des dynamiques ainsi que pour l'ajout progressif de nouveaux types d'exploitation.



PARTICIPATION DEPUIS L'INSTALLATION FEVRIER 2020



258

TOTAL D'IMAGES ENVOYÉES

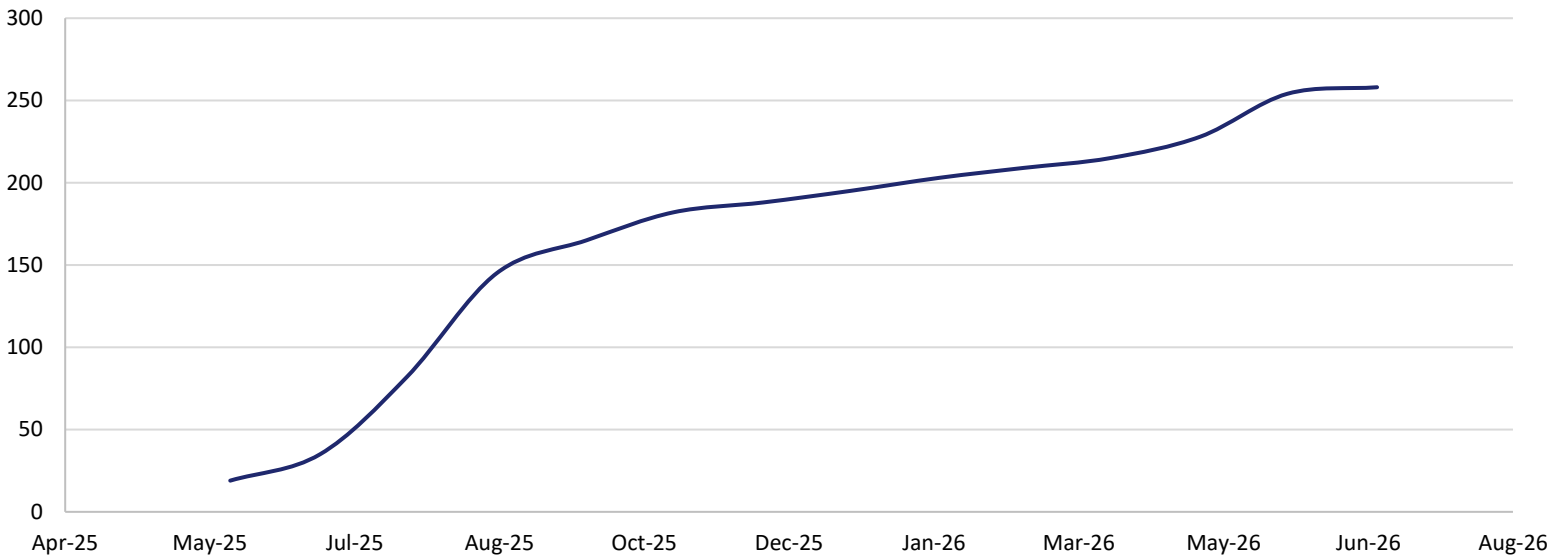


5

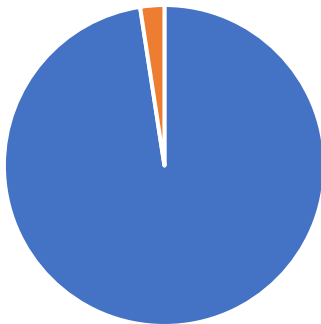
FRÉQUENCE D'ENVOI (PAR SEMAINE)



PHOTOS REÇUES CUMULÉES

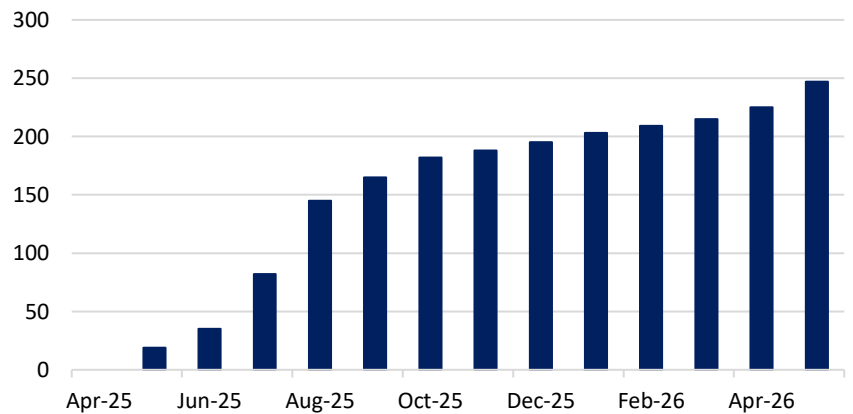


PLAGE D'HOEDIC



■ QR ■ Mail

PHOTOS REÇUES MENSUELLES



ANALYSE QUALITATIVE

Première et dernière photographies reçues

Date: 2025/05/14 Heure UTC: 09:58 Photo: Klein Niveau mer: -0.90m IGN 69



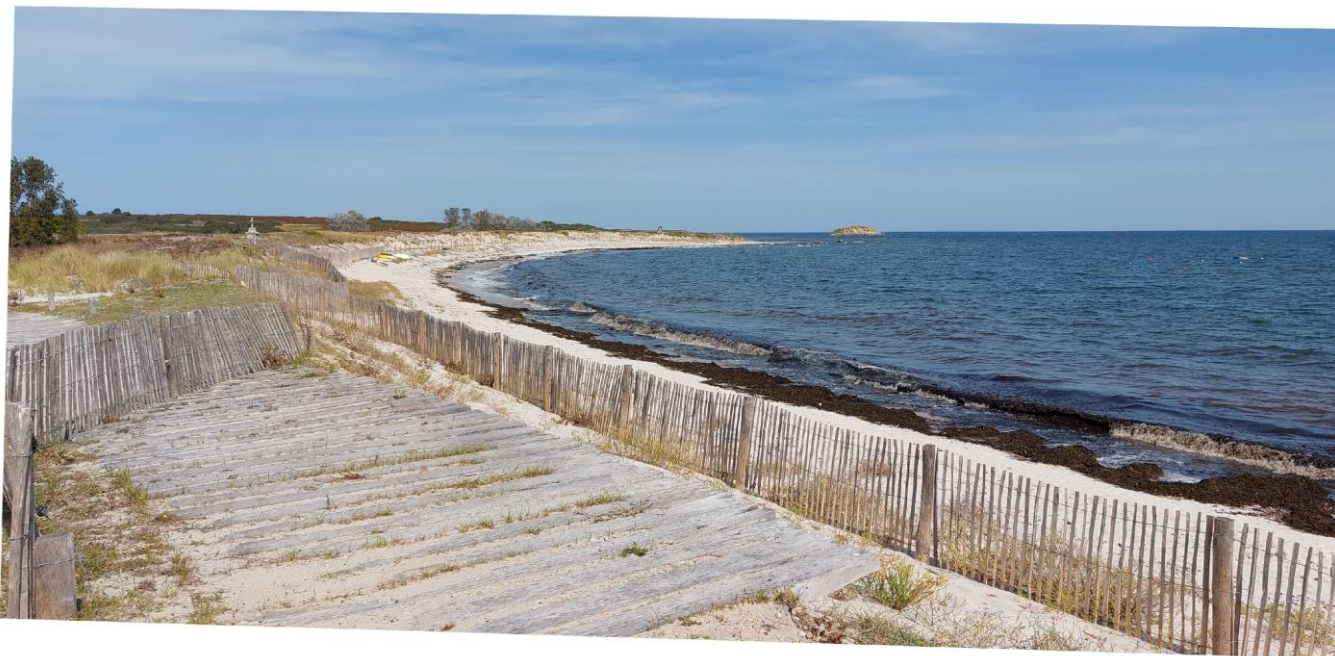
Date: 2026/04/07 Heure UTC: 12:48 Photo: Lazennec Niveau mer: -0.67m IGN 69



TOUTES LES ANIMATIONS DISPONIBLES SUR LE SITE DE L'OCLM

PHOTOGRAPHIES SAISONNIÈRES

Date: 2025/09/06 Heure UTC: 14:18 Photo: HenryCorinne Niveau mer: 2.84m IGN 69



Septembre 2025

Date: 2025/12/25 Heure UTC: 10:41 Photo: Pavlista Niveau mer: 0.31m IGN 69



Décembre 2025

Photographies saisonnières

Date: 2026/03/07 Heure UTC: 15:44 Photo: Forestier Niveau mer: 1.49m IGN 69



Mars 2026

Date: 2026/05/09 Heure UTC: 17:03 Photo: Lelievre Niveau mer: 0.49m IGN 69



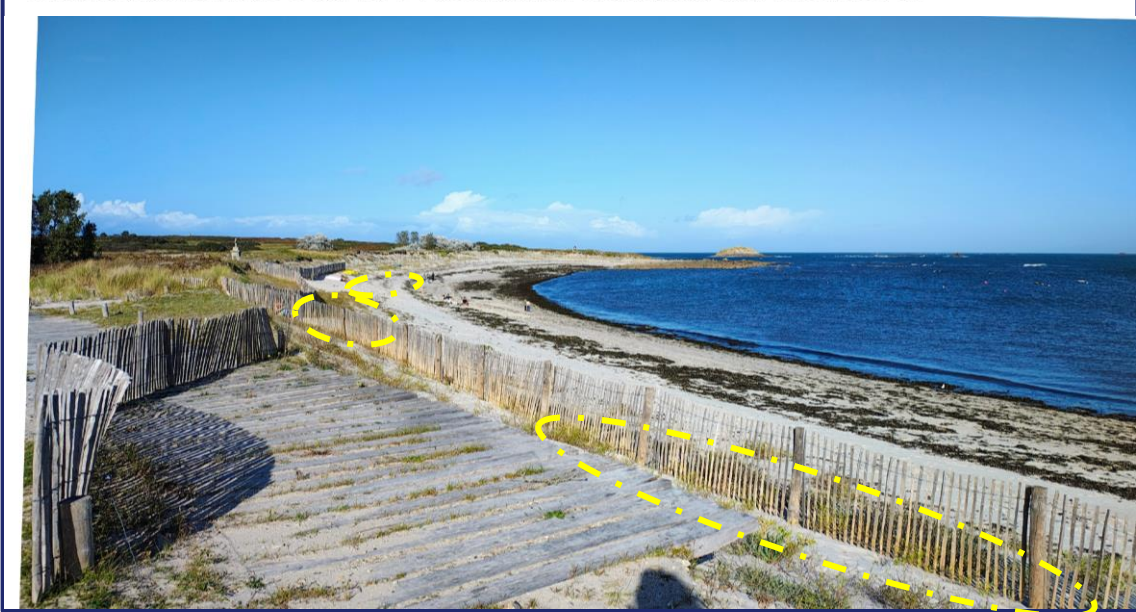
Mai 2026

Date: 2025/05/14 Heure UTC: 15:50 Photo: LaurentGarnier Niveau mer: 2.47m IGN 69



Mai 2025

Date: 2025/08/29 Heure UTC: 16:27 Photo: MarionPeron Niveau mer: 1.13m IGN 69



Août 2025

Si l'analyse qualitative des photographies permet encore difficilement de mettre en évidence des changements majeurs sur la plage depuis le début récent des suivis, plusieurs éléments peuvent néanmoins être observés. D'une part, on note entre mai et août un développement de la végétation dunaire. Ce phénomène est attendu sur cette période, mais il traduit aussi une dynamique de reconstitution de la dune, endommagée lors des derniers hivers, et qui semble amorcer un processus de régénération.

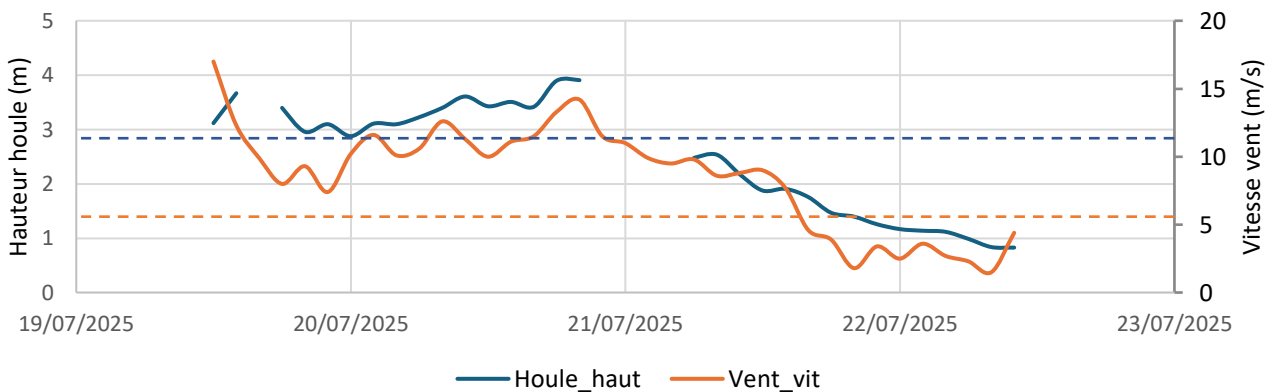
Date: 2025/07/20 Heure UTC: 14:08 Photo: Albrespy Niveau mer: 1.49m IGN 69



Date: 2025/07/22 Heure UTC: 12:26 Photo: Garnier Niveau mer: 1.96m IGN 69



Houle et vent entre le 20 et 22 juillet 2025



Un échouage d'algues a également été observé entre le 20 et le 22 juillet 2025, à la suite de conditions d'agitation d'ouest durant lesquelles les seuils morphogènes de vent (6 m/s) et de houle (3 m) ont été dépassés (pointillés). Ces algues pourraient éventuellement constituer une ressource intéressante dans le cadre d'une expérimentation avec des casiers Algobox.

Analyse comparée période d'érosion et d'accrétion

Accrétion (18–25 novembre 2025)

Entre le 18 et le 25 octobre 2025, une accumulation de sable d'environ 10 cm a été observée au niveau des ganivelles. Sur la première photo prise le 18 octobre 2025, le fil de fer bleu (1) était visible, tandis que sur la deuxième photo prise le 25 octobre 2025 celui-ci se retrouvait enseveli par le sable, indiquant que le dépôt s'est constitué rapidement au cours des jours suivants.

Les jours précédant le 18 octobre, un temps globalement sec et la présence de petit coefficient ont probablement favorisé l'assèchement du sable en surface et son transport par le vent. À partir du 19 octobre, plusieurs épisodes de vents soutenus se sont ensuite succédé, d'abord de secteur sud-est à sud-ouest avec une vitesse moyenne de 45,65 km/h, puis principalement d'ouest à nord-ouest, avec des vitesses pouvant dépasser 70 km/h.

Cette accumulation semble donc principalement liée à des processus éoliens. L'hypothèse d'un apport marin reste peu probable, les niveaux d'eau n'ayant pas été suffisants pour atteindre cette zone, les ganivelles étant situées à environ 4 m IGN.



18/10/2025



25/10/2025

Plusieurs hypothèses peuvent expliquer cette accrétion. Une première hypothèse repose sur l'action des vents de sud, plus frontaux par rapport à la plage, qui ont pu remobiliser le sable situé en haut de plage et favoriser son transport vers les ganivelles.

Le tableau ci-dessous présente les conditions d'agitation (vent et houle) observées sur la période. Les valeurs en rouge indiquent un dépassement des seuils morphogènes (6 m/s pour le vent et 3 m pour la houle).

Date	Vent_origine	Vent_vit	Houle_origine	Houle_haut	Hauteur_eau
19/10/2025	170	5,1	209,86	0,74	1,529
19/10/2025 02:00	140	12,2	175,71	0,94	2,483
19/10/2025 04:00	150	11,1	167,27	1,05	2,006
19/10/2025 06:00	140	9	176,21	1,07	0,5
19/10/2025 12:00	190	14,9	210,1	1,64	1,656
19/10/2025 14:00	210	16,2	218,59	2,06	2,794

Une seconde hypothèse repose sur l'orientation sud-est de la plage du Port à Hoëdic. Les vents d'ouest à nord-ouest n'arrivaient pas directement depuis la mer, mais de manière latérale ou par l'arrière du système dunaire. Ces vents ont pu remobiliser le sable sec présent sur le haut de plage, ainsi qu'une partie du sable situé sur la dune ou en haut de dune, notamment sous l'effet de turbulences locales.

Date	Vent_origine(°)	Vent_vit (m/s)	Houle_origine(°)	Houle_haut(m)	Hauteur_eau(m)
23/10/2025 02:00	260	16,9	254,16	6,03	1,889
23/10/2025 04:00	270	17,4	253,41	5,58	2,999
23/10/2025 06:00	280	23,4	257,1	6,22	2,202
23/10/2025 08:00	280	18,7	259,16	6,27	0,372
23/10/2025 14:00	280	12,4	262,01	6,05	1,164
23/10/2025 16:00	280	14	262,79	4,8	2,496
23/10/2025 18:00	280	16,2	262,96	4,79	2,113
23/10/2025 20:00	280	10,6	268,62	4,11	0,633
24/10/2025 02:00	290	6,9	264	3,86	1,108
24/10/2025 04:00	270	8,1	263,85	3,42	2,612
24/10/2025 06:00	280	11,1	264,68	2,99	2,379
24/10/2025 08:00	260	9,4	266,77	3,1	0,971
24/10/2025 14:00	260	10,6	268,38	2,48	0,956
24/10/2025 16:00	260	9,8	266,61	2,44	2,486
24/10/2025 18:00	270	10,2	267,4	2,32	2,429

Des observations complémentaires permettront d'affiner cette hypothèse et de préciser l'origine du sable déposé. Toutefois, la majorité du sable proviendrait probablement du stock sédimentaire situé en bas de plage, remobilisé par les vents de sud.

Les ganivelles ont piégé le sable en ralentissant le flux du vent, favorisant ainsi la chute et l'accumulation des grains à leur pied. La succession de plusieurs jours de vents forts expliquerait la rapidité du dépôt observé. L'accumulation résulterait donc d'une combinaison entre remobilisation du sable et piégeage par les ganivelles.

Déchaussement des ganivelles lié à une perte de sable en bas de dune entre le 29/10 et le 07/11/2025

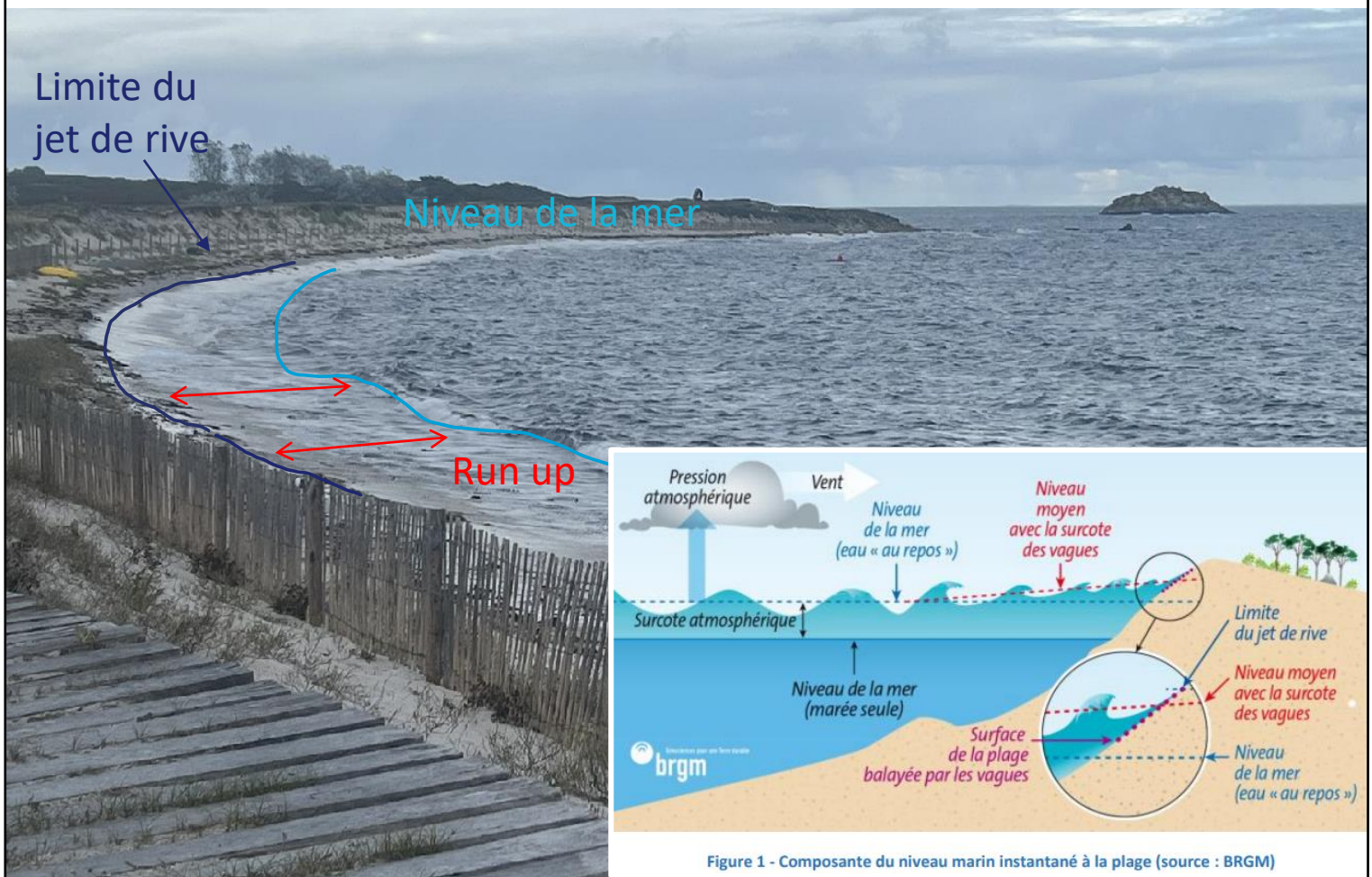
La dégradation observée des ganivelles semble principalement liée à la combinaison répétée et proche entre des épisodes de forte houle de sud ouest et des coefficients supérieur à 100 entraînant des niveaux d'eau élevés dépassant les 3 m IGN entre le 04/11/2025 et le 07/11/2025. En effet, cette agitation importante au niveau du rivage avec des vagues provoquant de forts jets de rive, capable de mobiliser les sédiments et de provoquer un affouillement au pied des structures, a pu entraîner le déchaussement progressif des ganivelles.



Débris de ganivelles

La répétition de ces épisodes sur plusieurs marées successives a pu accentuer la perte de stabilité des piquets. Par ailleurs, les niveaux d'eau élevés augmentent la probabilité que les vagues atteignent directement les ganivelles. À cela s'ajoute le phénomène de run-up, correspondant à la remontée des vagues sur la plage au-delà de leur zone de déferlement sous l'effet de leur énergie. Ce mécanisme peut permettre à l'eau et aux vagues de toucher des secteurs situés plus en altitude que le niveau marin observé.

Date: 2025/09/09 Heure UTC: 16:38 Photo: JulienRacat Niveau mer: 3.37m IGN 69



Enfin, les algues transportées par la mer peuvent s'accumuler contre les ganivelles et exercer une pression mécanique supplémentaire, notamment lors du déferlement des vagues. L'ensemble de ces facteurs laisse supposer que la perte des ganivelles résulte principalement d'une combinaison entre forte houle, niveaux d'eau élevés, run-up et déchaussement sédimentaire sur la période du 29/10 et le 07/11/2025.

Erosion (période hivernale)

L'analyse comparative de photographies met en évidence un recul progressif du front dunaire sur ce secteur durant la période hivernale. Sur la première photo on remarque une pente dunaire continue, douce avec une végétation présente sur la pente de la dune. Sur la deuxième photo on remarque une pente dunaire abrupte qui a reculé avec une végétation très peu présente. La végétation peut ne pas être présente en période hivernale.

La dégradation progressive de la dune peut entraîner une perte de couverture végétale, élément essentiel à la fixation des sédiments. Une dune moins végétalisée devient alors plus sensible à l'action du vent, des marées et des épisodes tempétueux souvent plus importants en hiver. L'exposition accrue à ces phénomènes peut accélérer l'érosion du front dunaire et favoriser un recul progressif du trait de côte.

Par ailleurs, l'absence de ganivelles limite la résilience du système face aux agents d'érosion. En effet, ces structures participent activement au piégeage du sable transporté par le vent et contribuent à la stabilisation du pied de dune. Leur disparition limite donc la capacité naturelle de rechargement sédimentaire et fragilise progressivement le cordon dunaire.

29/10/2025 Heure UTC: 15:41 Niveau mer: 0,12 IGN 69



Trait de côte du
29/10/2025

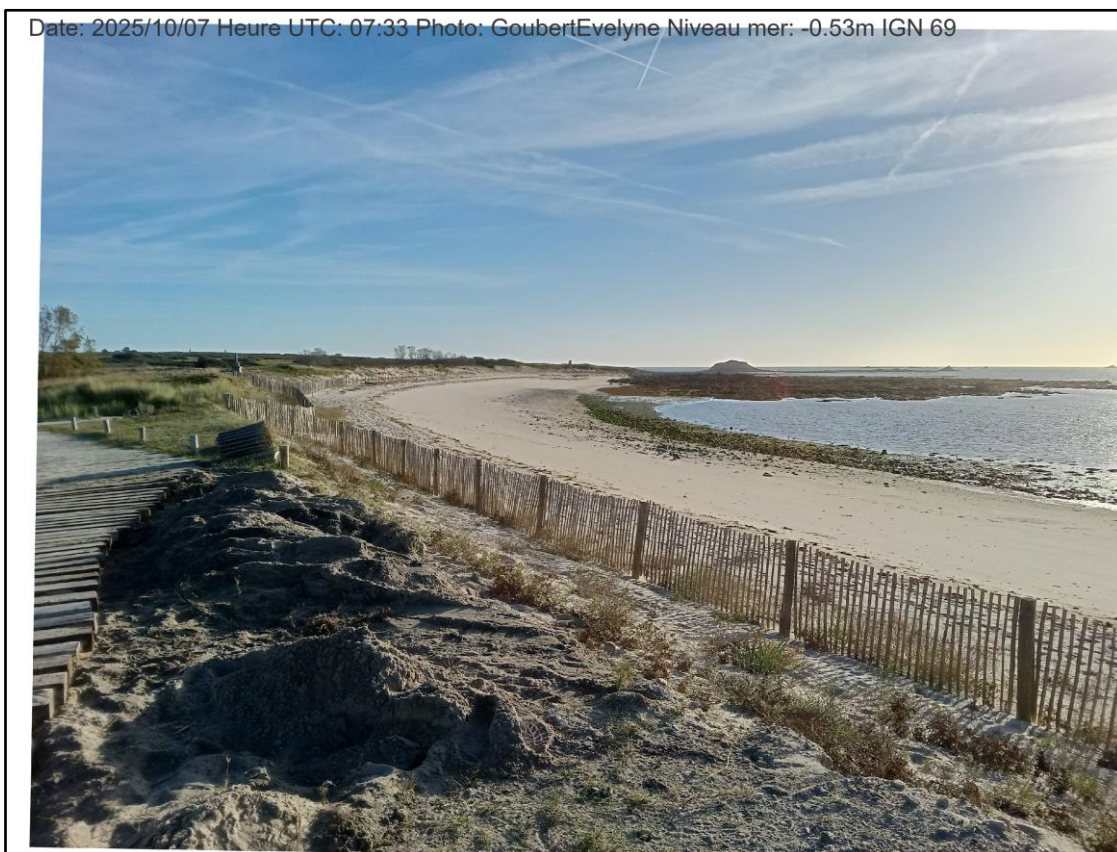
03/04/2026 Heure UTC: 11:38 Niveau mer: -1.37 IGN 69



Trait de côte du
03/04/2026

Déplacement du chemin

Face à l'évolution du trait de côte et à la fragilisation du secteur dunaire, le cheminement existant a été déplacé vers l'arrière. Cette intervention vise à limiter la fréquentation des zones sensibles et à s'adapter à la dynamique naturelle du littoral.



Installation de bi fils

Dans le même objectif de limitation de la fréquentation des zones sensibles, des poteaux reliés par des bi fils ont été mis en place.

Date: 2026/04/22 Heure UTC: 10:53 Photo: BourhyPickering Niveau mer: 0.54m IGN 69



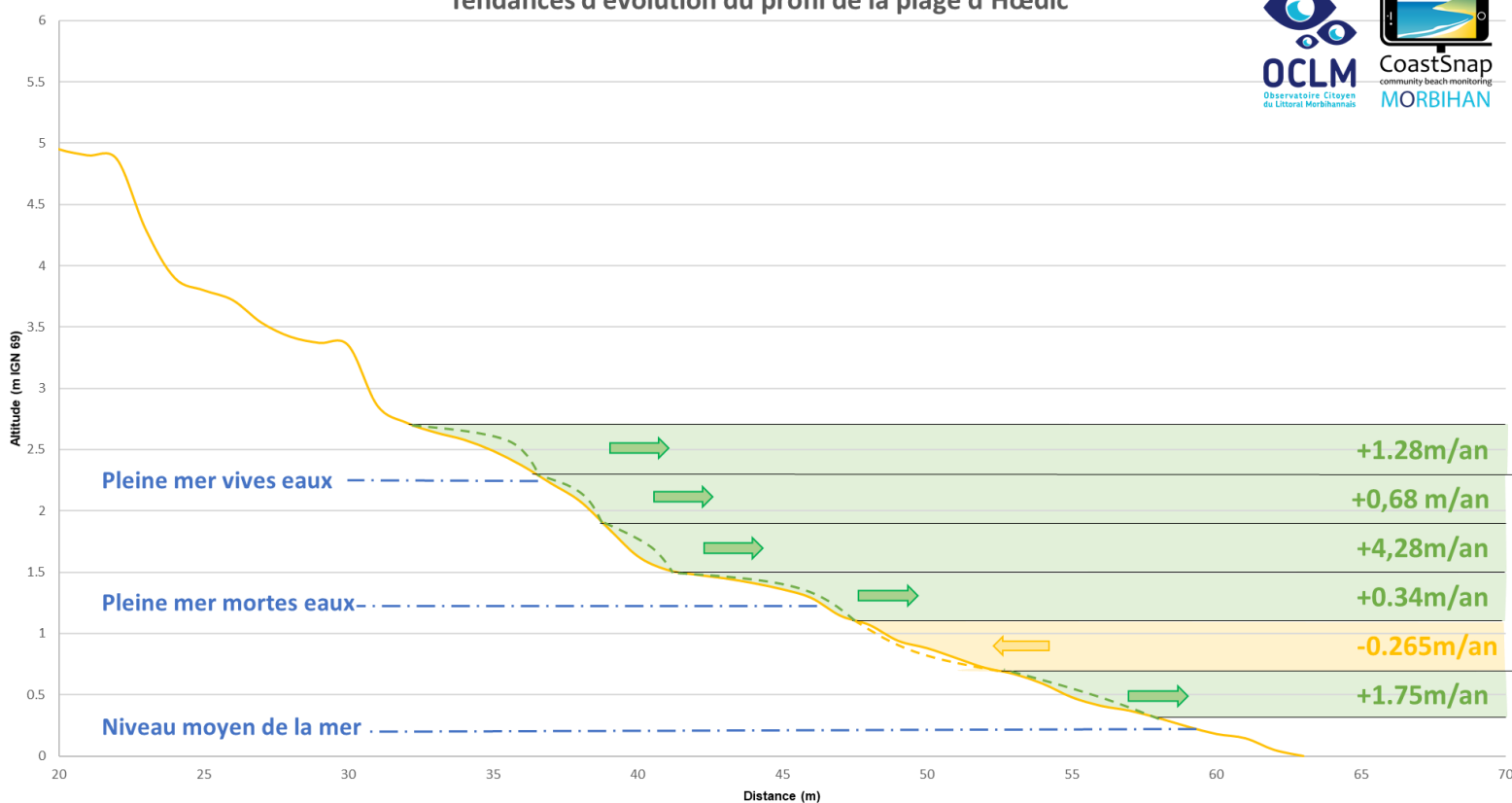
Date: 2026/04/27 Heure UTC: 15:34 Photo: Bras Niveau mer: 1.36m IGN 69



ANALYSE QUANTITATIVE

La figure de synthèse ci-dessous illustre les tendances générales de l'évolution de la largeur de la plage. Les tendances sont calculées par intervalles de 20 cm (ex. : 2 m \pm 10 cm IGN 69) entre les altitudes 2,70 m et 0,30 m IGN. Cette plage de hauteurs d'eau a été spécifiquement retenue pour ce site en fonction de plusieurs paramètres, tels que le nombre suffisant de photos utilisables ou encore la visibilité de la mer à ces hauteurs d'eau. Chaque tendance est ensuite moyennée avec la tendance adjacente (1,90 m à 1,70 m avec 1,70 m à 1,50 m) afin de rendre la figure plus lisible. Pour rappel, plus il y a de photos utilisables, réparties équitablement dans le temps, plus les tendances sont fiables.

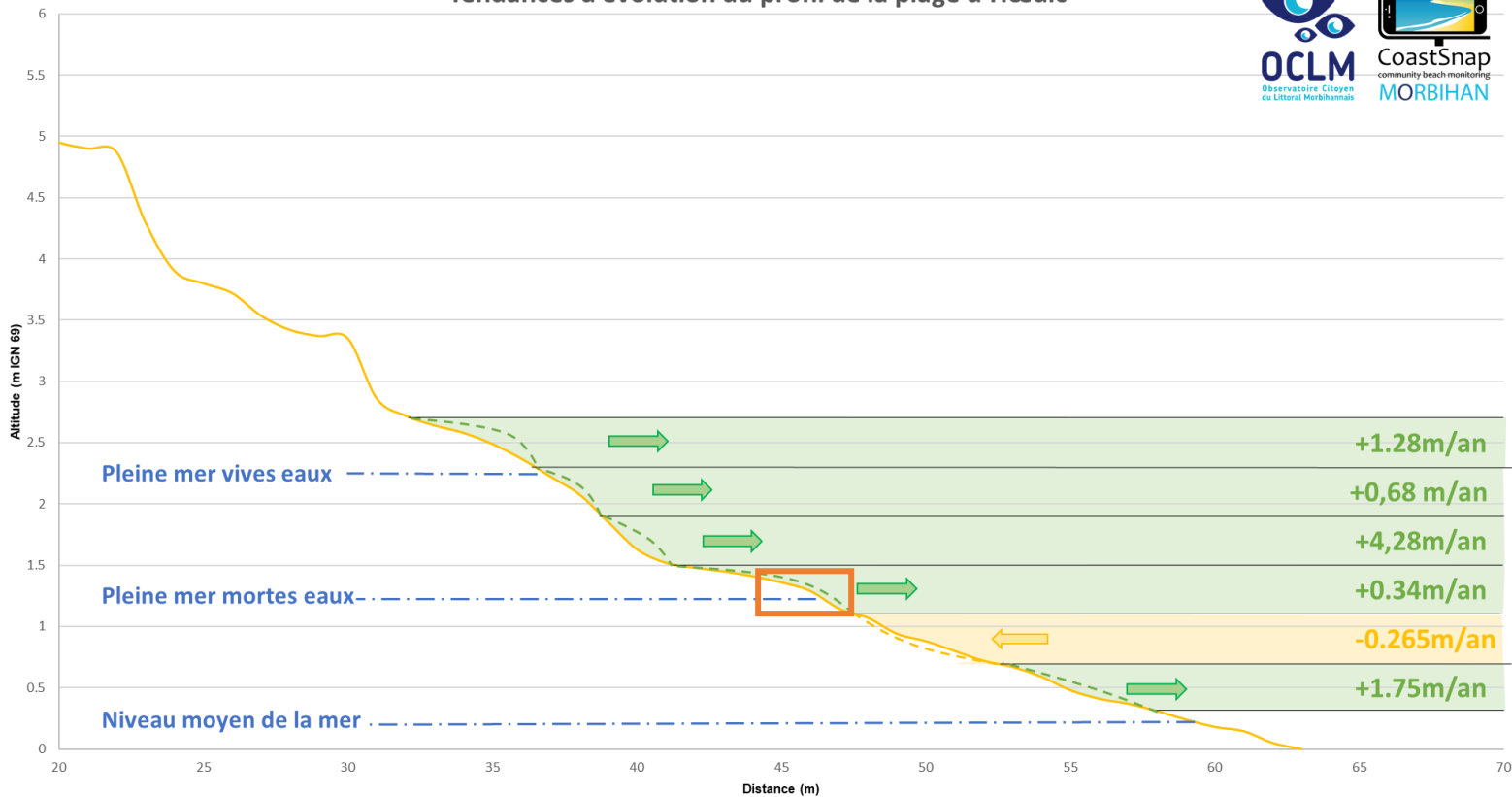
Tendances d'évolution du profil de la plage d'Hœdic



La figure montre que, depuis le début des mesures, la plage s'est élargie sur la quasi-totalité de la zone étudiée. L'hypothèse la plus probable est que l'érosion survenue durant l'hiver 2025-2026, qui a fortement affecté le haut de plage avec un recul marqué du cordon dunaire, a entraîné le transfert des sédiments érodés vers les parties plus basses de la plage. L'augmentation observée de la largeur de plage résulterait ainsi de la remobilisation du sable issu du haut de plage. Si cette hypothèse se confirme, cela indiquerait que les sédiments érodés au cours de l'hiver sont restés au sein de la cellule hydrosédimentaire et n'ont pas été exportés vers le large. Si tel est le cas, ces sédiments pourraient être remobilisés pendant la période estivale et contribuer à la reconstitution du système dunaire. Il est donc primordial de favoriser des aménagements favorisant ce captage sédimentaire (ganivelles, etc.) La poursuite du suivi permettra de vérifier cette dynamique et ces hypothèses.

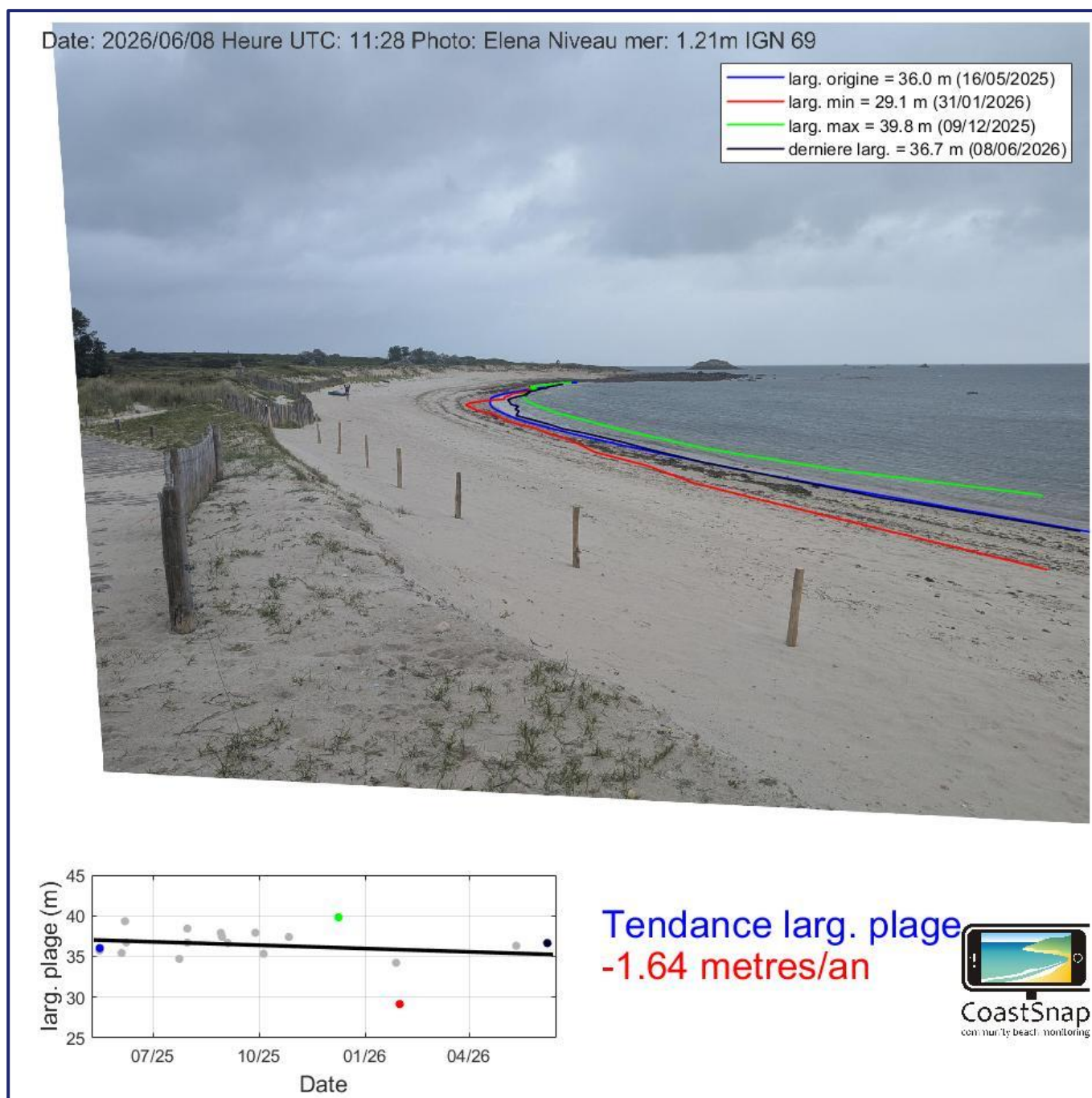
La figure de la page suivante présente les tendances d'évolution de la plage à l'altitude marégraphique de référence « pleine mer de mortes eaux ». Cette altitude est donnée en référence pour les différents ports Français dans le livret « RAM » du SHOM disponible gratuitement en ligne. Ici le port de référence est le Hoëdic. Sur la figure ci-dessous, en reprenant un intervalle d'étude de $\pm 10\text{cm}$ la zone est matérialisé approximativement par un rectangle orange.

Tendances d'évolution du profil de la plage d'Hœdic



La figure ci-dessous présente l'évolution de la largeur de la plage à l'altitude de $1,21 \text{ m} \pm 11 \text{ cm}$, correspondant approximativement au niveau moyen des pleines mers de mortes-eaux (1,22 m à Hoëdic). Dans l'ensemble, la largeur de la plage reste relativement stable, autour de 36 m. Cette stabilité est toutefois ponctuellement perturbée par les tempêtes de janvier, qui ont provoqué une diminution marquée de la largeur de la plage. La photographie présente à la page suivante illustrent cet état, montrant une plage fortement réduite, y compris lors de la période d'accalmie ayant suivi la tempête Ingrid.

Malgré ces épisodes érosifs, la plage a rapidement retrouvé sa largeur initiale témoignant d'un certain équilibre du profil de plage à cette altitude.



Date: 2026/01/31 Heure UTC: 12:05 Photo: Sébastien Niveau mer: 1.29m IGN 69



INFORMATIONS ADDITIONNELLES



CoastSnap
community beach monitoring
Morbihan



OCLM
Observatoire Citoyen
du Littoral Morbihannais

Découvrez toutes les stations CoastSnap du Morbihan sur le site internet de l'OCLM – Observatoire Citoyen du Littoral Morbihannais et plus d'informations sur CoastSnap sur le site international du projet CoastSnap.com

Suivez toutes les publications des résultats sur les réseaux sociaux de l'OCLM ou de CoastSnap Morbihan.



CoastSnap Morbihan est un projet à l'initiative de l'OCLM dont les résultats sont traités par le laboratoire Geo-Ocean de l'université de Bretagne Sud à Vannes également membre du réseau CoastSnap France.

Une question ? Contactez :
coastsnapmorbihan@gmail.com

